

BAY21

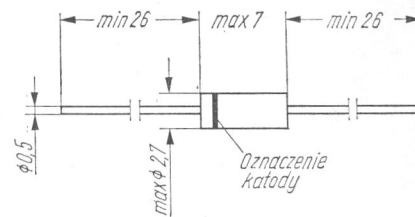
Typ diody: dioda krzemowa

Firma: ITT

Wykonanie: dioda krzemowa dyfuzyjna w obudowie szklanej DO-7, ciężar około 0,22 G

Zastosowanie: dioda powszechnego użytku

Typy podobne: BAY46



Rys. 2-81. BAY21

Wartości charakterystyczne¹⁾

	min	typ	max		
I_F	100	800		mA	przy $U_F = 1$ V
I_R		30	100	nA	przy $U_R = 300$ V
I_R			25	μ A	przy $U_R = 300$ V, $t_j = 100^\circ\text{C}$
r_F		5		Ω	przy $I_F = 10$ mA
C_{tot}		1,2		pF	przy $U_R = 10$ V, $f = 500$ kHz
t_{rr}		1		μ s	przy przełączaniu z $I_F = 10$ mA na $U_R = 10$ V, $I_R = 0,1$ mA ($R_L = 2$ k Ω , $C_L = 15$ pF)
$R_{th\ j-a}$			0,31	$^\circ\text{C}/$ /mW	

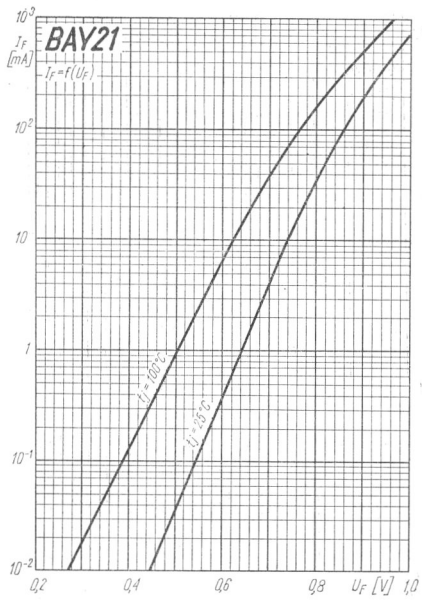
Wartości graniczne

$U_R\ \text{max}$	350	V	$P_{tot}\ \text{max}$	400 ²⁾	mW
$I_F\ \text{max}$	250 ²⁾	mA	$t_j\ \text{max}$	150	$^\circ\text{C}$
$I_0\ \text{max}$	200 ³⁾	mA	t_{stg}	-55 ÷ +150	$^\circ\text{C}$

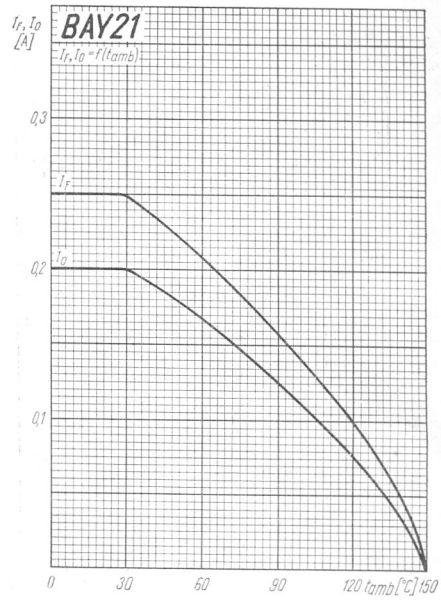
¹⁾ $t_j = 25^\circ\text{C}$

²⁾ $t_{amb} = 25^\circ\text{C}$

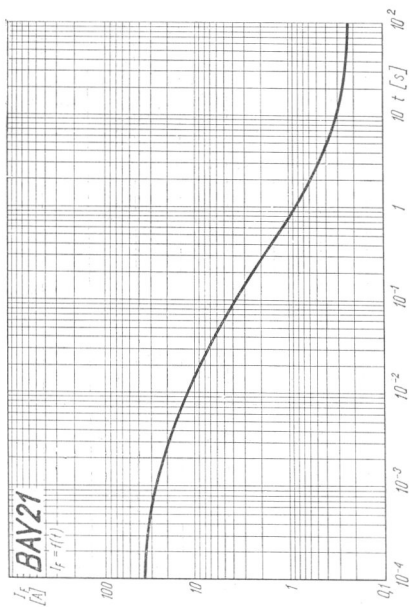
³⁾ obciążenie porowe przy $t_{amb} = 25^\circ\text{C}$



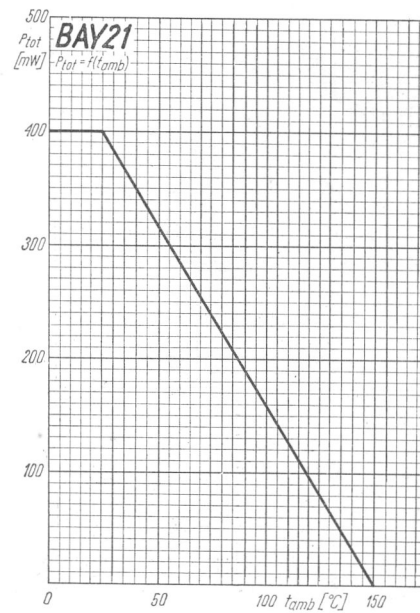
Rys. 2-82. Charakterystyka prądu przewodzenia diody



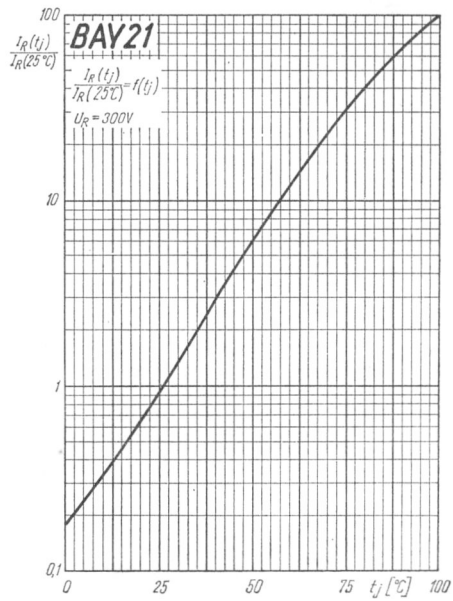
Rys. 2-83. Zależność prądu przewodzenia diody od temperatury otoczenia



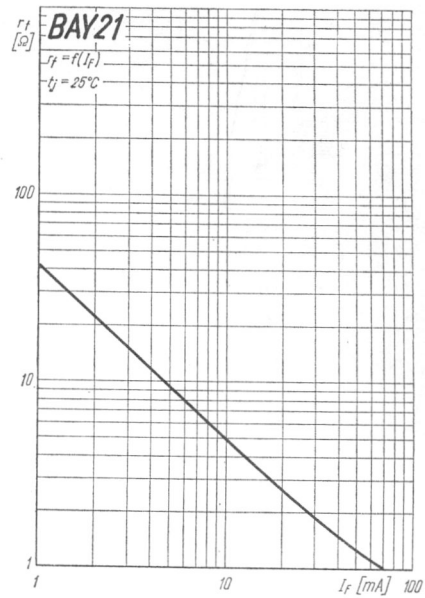
Rys. 2-84. Zależność prądu przewodzenia od czasu załączania



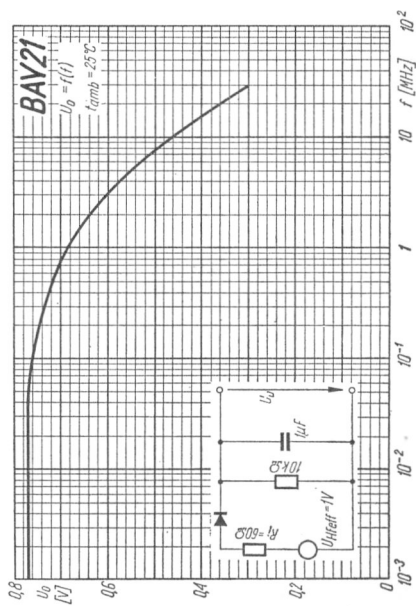
Rys. 2-85. Zależność całkowitej mocy strat od temperatury otoczenia



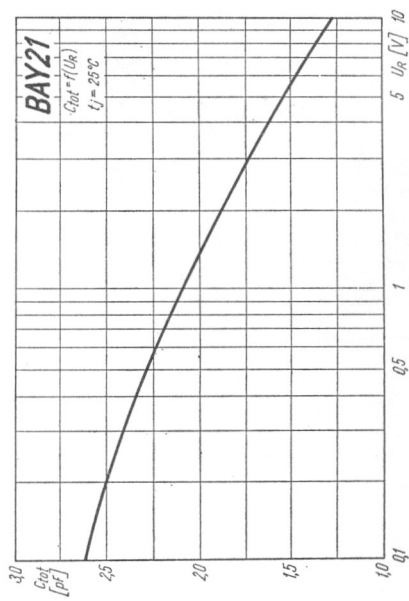
Rys. 2-86. Zależność prądu wstecznego od temperatury złącza



Rys. 2-87. Zależność rezystancji różniczkowej od prądu przewodzenia diody



Rys. 2-88. Zależność napięcia wyprostowanego od częstotliwości



Rys. 2-89. Zależność całkowitej pojemności od napięcia wstecznego